



# Avaliação das propriedades fotocatalíticas da heteroestrutura Ag<sub>3</sub>PO<sub>4</sub>-Cu<sub>3</sub>(PO<sub>4</sub>)<sub>2</sub> na degradação de levofloxacina

Luís J. Silva<sup>1</sup>, Renato P. Sousa<sup>1\*</sup>, João F. C. Filho<sup>1</sup>, Marynara S. Sampaio<sup>2</sup>, Aline E. B. Lima<sup>2</sup>, Geraldo E. Luz Jr.<sup>2</sup>

# Resumo/Abstract (Helvética, tam. 12)

RESUMO - Neste trabalho, foi realizada a síntese de uma heteroestrutura tipo esquema-Z de Ag<sub>3</sub>PO<sub>4</sub>-Cu<sub>3</sub>(PO<sub>4</sub>)<sub>2</sub>, visando à melhoria da estabilidade do Ag<sub>3</sub>PO<sub>4</sub>. Na caracterização dos sólidos, a difração de raios X (DRX) mostrou que o Ag<sub>3</sub>PO<sub>4</sub> possui uma estrutura cúbica centrada no corpo e alta cristalinidade, além de evidenciar a formação da heteroestrutura. As análises de microscopia eletrônica de varredura (MEV) revelaram que o Ag<sub>3</sub>PO<sub>4</sub> não apresenta uma morfologia definida, enquanto o Cu<sub>3</sub>(PO<sub>4</sub>)<sub>2</sub> possui uma morfologia em forma de folhas. Para as heteroestruturas, o MEV evidenciou a presença dos dois materiais, confirmando a formação da heteroestrutura. Nas análises de fotoluminescências realizadas, foi possível observar que as heteroestruturas possuem uma resposta melhor quando comparada com os materiais puros. Os testes fotocatalíticos mostraram que o Ag<sub>3</sub>PO<sub>4</sub> puro como as duas heteroestruturas possuem uma boa atividade fotocatalítica para degradação de LEV. No entanto, os testes de reuso mostraram que AgP-CuP<sub>10%</sub> teve melhor desempenho em três ciclos.

Palavras-chave: Fotocatálise, Fosfato de prata (Ag<sub>3</sub>PO<sub>4</sub>), Fotoestabilidade.

ABSTRACT - In this work, a Z-scheme Ag<sub>3</sub>PO<sub>4</sub>-Cu<sub>3</sub>(PO<sub>4</sub>)<sub>2</sub> heterostructure was synthesized, aiming to improve the stability of Ag<sub>3</sub>PO<sub>4</sub>. In the characterization of the solids, X-ray diffraction (XRD) showed that Ag<sub>3</sub>PO<sub>4</sub> has a body-centered cubic structure and high crystallinity, and also confirmed the formation of the heterostructure. Scanning electron microscopy (SEM) analyses revealed that Ag<sub>3</sub>PO<sub>4</sub> does not exhibit a defined morphology, while Cu<sub>3</sub>(PO<sub>4</sub>)<sub>2</sub> shows a leaf-like morphology. For the heterostructures, SEM evidenced the presence of both materials, confirming the formation of the heterostructure. Photoluminescence analyses showed that the heterostructures exhibited a better response compared to the pure materials. Photocatalytic tests demonstrated that pure Ag<sub>3</sub>PO<sub>4</sub> and both heterostructures possess good photocatalytic activity for the degradation of LEV. However, reuse tests showed that AgP-CuP10% performed better over three cycles.

*Keywords: Photocatalysis, Silver phosphate* (Ag<sub>3</sub>PO<sub>4</sub>), *Photostability*.

# Introdução

Nos últimos anos, o uso indiscriminado de antibióticos tornou-se uma das principais preocupações da comunidade científica devido à possibilidade de aumento da resistência bacteriana (1). Entre os diversos antibióticos, um dos mais utilizados é a Levofloxacina (LEV). A LEV pertence à família das fluoroquinolonas e é amplamente aplicada no tratamento de diversas doenças respiratórias, infecções de pele e do sistema urinário (2). No entanto, uma vez ingerida, nosso corpo não é capaz de metabolizá-la completamente, sendo excretada como fármaco inalterado e terminando diretamente no esgoto (2). Portanto, a busca por meios eficientes de remediação da LEV em ambientes aquáticos tem sido amplamente estudada. Nesse sentido, estudos apontam os processos oxidativos avançados (POAs)

como uma alternativa eficiente para a remoção da LEV em efluentes (3).

Os POAs se dividem em diferentes métodos, mas a fotocatálise heterogênea (FH) é que vem ganhando mais destaque por apresentar resultados muito relevantes (4). Na FH, um semicondutor é irradiado com energia suficiente para promover a formação de pares elétron  $(e^{-})/lacuna (h^{+})$ ; essas espécies são capazes de formar radicais oxidantes, capazes de promoverem a degradação de poluentes (5). Assim, estudos com semicondutores que possam ser usados na FH têm ganhado destaque nas últimas décadas (6).

Entre os diversos materiais estudados, o Ag<sub>3</sub>PO<sub>4</sub> tem se destacado por apresentar resultados relevantes na degradação de antibióticos. Esse material é um semicondutor do tipo n, com energia de banda proibida de ~2,7 eV e um rendimento quântico de aproximadamente 90% (7). No entanto, o material apresenta uma significativa fotoinstabilidade, sofrendo fotocorrosão quando irradiado

<sup>&</sup>lt;sup>1</sup>Programa de Pós-graduação em Química (PPGQ), Universidade Federal do Piauí (UFPI), Av. Universitária, 64049-550, Teresina, Piauí. \*E-mail: renatito.sousa.33046@gmail.com

<sup>&</sup>lt;sup>2</sup>Centro de Ciências da Natureza (CCN), Universidade Estadual do Piauí (UESPI), R. João Cabral, 2231, 64002-150, Teresina, Piauí.



(7). Assim, muitos autores têm conduzido estudos na busca de minimizar o processo de fotocorrosão do  $Ag_3PO_4$ , sendo o uso de reagentes ou metais sacrifícios uma das alternativas mais abordadas na literatura (8). Outros estudos que ganharam destaque na tentativa de melhorar a fotoinstabilidade do  $Ag_3PO_4$  envolvem a preparação de sistemas heteroestruturados de  $Ag_3PO_4$  (9). Estudos com heteroestruturas, como  $Ag_3PO_4/LaPO_4$ , e  $Ag_3PO_4/Ni_3(PO_4)_2$  apresentaram resultados bastante relevantes (10,11).

Portanto, este trabalho apresenta resultados da preparação e caracterização de uma heteroestrutura composta por Ag<sub>3</sub>PO<sub>4</sub> e Cu<sub>3</sub>(PO<sub>4</sub>)<sub>2</sub>, explorando seu potencial aplicação como material fotocatalítico de alta eficiência.

# Experimental

Síntese do Ag<sub>3</sub>PO<sub>4</sub>

O fosfato de prata (Ag<sub>3</sub>PO<sub>4</sub>) foi sintetizado via método de coprecipitação (CP). Para isso, nitrato de prata (AgNO<sub>3</sub> 99% Sigma Aldrich) e hidrogenofosfato de sódio penta hidratado (Na<sub>2</sub>HPO<sub>4</sub>.5H<sub>2</sub>O 99% Sigma Aldrich) foram os precursores dos íons responsáveis pela formação do Ag<sub>3</sub>PO<sub>4</sub>. Em um béquer, 3 mmol de AgNO<sub>3</sub> foi diluído em 50 mL de água deionizada, em seguida colocado em banho ultrassom por 15 min. O mesmo procedimento foi realizado com a amostra de Na<sub>2</sub>HPO<sub>4</sub>, no entanto, foi dispersado apenas 1 mmol em 50 mL de água deionizada. Então, em uma bureta de 50 mL, foi adicionado à solução de Na<sub>2</sub>HPO<sub>4</sub>, e em seguida a mesma foi adicionada lentamente sob a solução de AgNO3, todo processo de mistura das soluções foi realizado sob agitação magnética constante e pH igual 7. Em seguida o material foi coletado, lavado (8 vezes) com água destilada, seco por 12 h em temperatura de 70°C e ao final, passou por tratamento térmico, temperatura de 450°C, taxa de aquecimento de 2°C/min por um tempo de 240 min.

Síntese das heteroestruturas Ag<sub>3</sub>PO<sub>4</sub>/Cu<sub>3</sub>(PO<sub>4</sub>)<sub>2</sub>

O preparo das heteroestruturas AgP- $Cup_{10\%}$  e AgP- $Cup_{5\%}$ , foi realizada de maneira semelhante a metodologia utilizada para o  $Ag_3PO_4$  puro.

Para síntese das heteroestruturas de  $Ag_3PO_4/Cu_3(PO_4)_2$ , misturou-se no mesmo béquer de 50 mL de solução de  $Ag_3NO_3$ , uma certa quantidade de  $Cu(NO_3)_2.5H_2O$ , sendo a massa de  $Cu(NO_3)_2$  adicionada equivalente a 10% em massa em relação a quantidade de  $Ag^+$ , (i) para a heteroestrutura  $Ag_3P_3$ - $Cup_{10\%}$  e (ii) 5% em massa em relação quantidade de  $Ag^+$  para amostra  $Ag_3P_3$ - $Cup_{5\%}$ . Posteriormente, a solução com a amostra  $Ag_3P_3$ - $Cup_{10\%}$ , foi lavada (8 vezes) com água deionizada, seca em 70 °C por 12 h, e sendo finalizado com tratamento térmico de 450 °C, rampa de 2 °C/min, por um tempo de 240 min.



O mesmo procedimento pós síntese foi realizado para heteroestrutura AgP-CuP<sub>5%</sub>.

Caracterização dos sólidos

Foi empregado difração de raios-X para identificação estrutural bem como a cristalinidade dos materiais como Cu<sub>3</sub>(PO<sub>4</sub>)<sub>2</sub>, Ag<sub>3</sub>PO<sub>4</sub> e AgP-CuP (5% e 10%), utilizou-se um equipamento da Shimadzu (XRD 6000), radiação de Cu K $\alpha$  ( $\lambda = 0.15406$  nm), filtro de níquel, voltagem de 40 kV e corrente do tubo de 30 mA. A leitura de  $2\theta$  em alto ângulo variou de  $10-110^{\circ}$ , com passo de  $0.02^{\circ}$ e tempo de 1s. A Microscopia Eletrônica de Varredura (MEV) foi utilizada para analisar a morfologia, estrutura superficial dos materiais sintetizados. Os resultados de MEV foram obtidos em equipamento da marca FEI, fonte eletrônica de emissão de campo Quanta FEG e Microscopia Eletrônica de Varredura (MEV) com tensão de aceleração entre 0,5 e 30 Kv. As análises de fotoluminescência (PL) foram realizadas para avaliar a taxa de recombinação dos portadores de carga nas heteroestruturas em comparação aos materiais puros. Essa medida foi realizada utilizando um laser Kimmon® He-Cd, com comprimento de onda máximo de 325 nm e potência máxima de 40 mW.

Ensaios Fotocatalíticos

O desempenho fotocatalítico dos materiais Ag<sub>3</sub>PO<sub>4</sub>, Cu<sub>3</sub>(PO<sub>4</sub>)<sub>2</sub>, e Ag<sub>3</sub>PO<sub>4</sub>/Cu<sub>3</sub>(PO<sub>4</sub>)<sub>2</sub> foi medido na fotodegradação da solução de (10 mg L-1) LEV, sendo utilizado como fonte de radiação uma lâmpada de vapor metálico (OSRAM), potência de 400 W, uma célula catalítica contendo a solução do poluente com o catalisador. Para cada teste catalítico foi utilizado 50 mg de catalisador para 100 mL de solução do fármaco. Inicialmente para observar o equilíbrio de adsorção/dessorção, o sistema permanece na ausência de radiação (no escuro) por um intervalo de 30 min (10, 20, 30 min), após esse intervalo, o sistema é irradiado e amostras passam a ser coletadas em tempos periódicos já pré-determinados. Todas as alíquotas coletadas, tantos as em 30 min no escuro, bem como as amostras coletadas sob irradiação, são centrifugadas por 20 min, e posteriormente analisadas no espectrofotômetro de UV-Vis (Shimadzu UV-2600).

Neste trabalho, também foi realizado o processo de reuso para a amostra e  $Ag_3PO_4/Cu_3(PO_4)_2$  para avaliar se o material manteve sua atividade fotocatalítica, além de observar se o  $Ag_3PO_4$  se manteve estável em relação a sua fotoinstabilidade.

# Resultados e Discussão

Difração de Raios-x

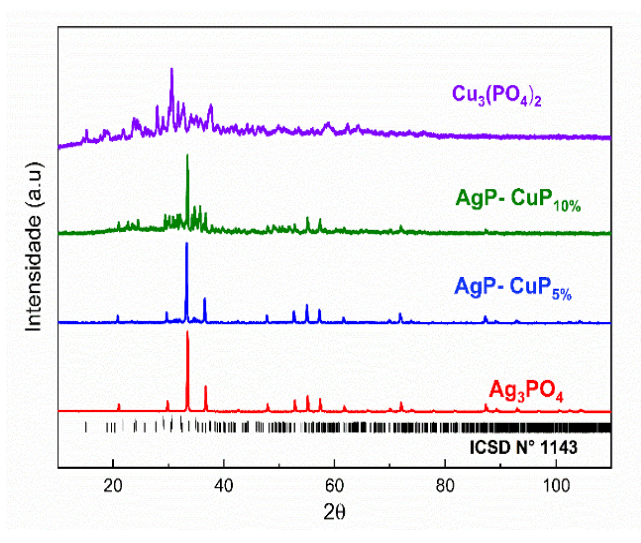
A difração de raios-X foi utilizada para avaliar o grau de ordem/desordem relacionada com à cristalinidade



dos materiais a longo alcance, paras as amostras puras de  $Ag_3PO_4$  e  $Cu_3PO_4$ , além das heteroestruturas  $AgP-CuP_{5\%}$  e  $AgP-CuP_{10\%}$ .

A Figura 1 mostra os padrões de DRX das amostras. Os planos de difração do Ag<sub>3</sub>PO<sub>4</sub> puro estão de acordo com resultados já citados na literatura, apresentando estrutura cúbica de corpo centrado e grupo espacial P43n em boa concordância com o Inorganic Crystal Structure Database (ICSD) n° 14000 (7). Para o Cu<sub>3</sub>(PO<sub>4</sub>)<sub>2</sub>, o resultado de DRX juntamente com o ICSD n° 1143, mostra que material possui uma fase triclínica grupo espacial P-1(12).

Os difratogramas para as amostras modificadas com Cu, é nítido o surgimento de planos de difração antes não observados na amostra pura de  $Ag_3PO_4$  e  $Cu_3(PO4)_2$ , o aparecimento desses planos juntamente com o ICSD n° 1143, sugere a presença de uma segunda fase referente ao  $Cu_3(PO_4)_2$ , portanto, isso mostra que o processo de síntese para a heteroestrutura foi bem-sucedida (13).



**Figura 1**. Difratograma de raios X em médio ângulo para o  $Ag_3PO_4$ ,  $Cu_3(PO_4)_2$ ,  $AgP-CuP_{5\%}$  e  $AgP-CuP_{10\%}$ .

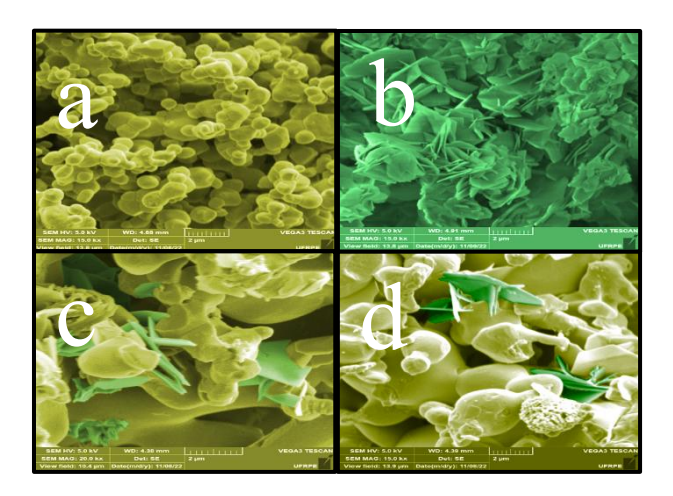
# Microscopia Eletrônica de Varredura

A morfologia dos materiais foi estudada por microscopia eletrônica de varredura (MEV). A Figura 2a-d mostra os resultados obtidos para o Ag<sub>3</sub>PO<sub>4</sub>, Cu<sub>3</sub>(PO<sub>4</sub>)<sub>2</sub>, AgP-CuP<sub>5%</sub> e AgP-CuP<sub>10%</sub>.

A micrografia (MEV) apresentada para o  $Ag_3PO_4$  na Figura 2a revela que material não possui uma morfologia bem definida. Como observado por Zhang e colaboradores, temperaturas elevadas ( $T > 200\,^{\circ}\text{C}$ ) favorecem o processo de sinterização do  $Ag_3PO_4$  (14). Para o  $Cu_3(PO_4)_2$ , sua morfologia apresenta um formato de folhas, conforme mostrado na Figura 2b (15). Para as heteroestruturas preparadas (Figura 2c-d), é possível observar a presença tanto do  $Ag_3PO_4$  como das folhas de  $Cu_3(PO_4)_2$ , vale



ressaltar, que o processo de sinterização fez com que o  $Ag_3PO_4$  se aglomerasse nas superfícies das folhas de  $Cu_3(PO_4)_2$ , dessa forma, sugere-se que ambos materiais devem possuir uma interação que pode influenciar em algumas propriedades, tais como a energia de banda proibida  $(EB_{gap})$  e na atividade fotocatalítica das heteroestruturas.



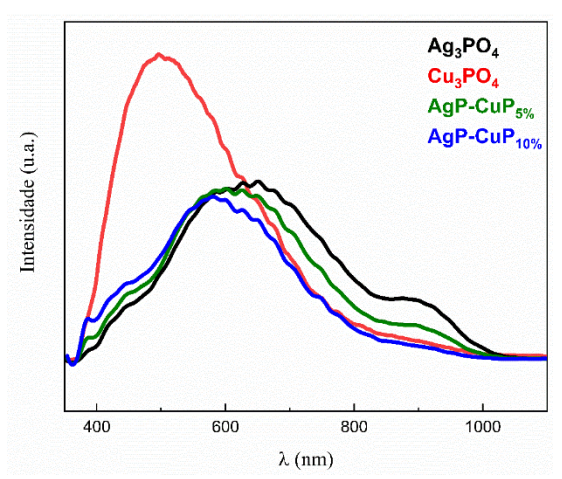
**Figura 2.** Micrografia das amostras a)  $Ag_4PO_4$ , b)  $Cu_3(PO_4)_2$ , c)  $AgP-CuP_{5\%}$  e d)  $AgP-CuP_{10\%}$ .

#### Análise de Fotoluminescência

A fotoluminescência é um importante resultado para entender a relação entre os portadores de cargas e a eficiência fotocatalítica de um material. De modo geral, esse resultado está associado a emissão de energia (fótons) gerada pela recombinação do par  $h^+/e^-$ , que são formados no material quando este é submetido a irradiação.

Conforme mostra a Figura 3, observa-se que o  $Cu_3(PO_4)_2$  apresenta uma banda em torno de 490 nm de elevada intensidade. Essa alta intensidade observada é um indicativo que o material demonstra uma taxa de recombinação de elétrons/lacunas bem alta, o que é desfavorável para aplicações em fotocatálise. Por outro lado, a intensidade da banda de PL do  $Ag_3PO_4$  é significativamente menor que do  $Cu_3(PO_4)_2$ , indicando que o material apresenta uma menor taxa de recombinação (16). Para as heteroestruturas de AgP-CuP modificadas com 5 e 10%, respectivamente, foi observado que a banda em torno 610 nm são ainda menores quando comparadas com as amostras puras de  $Cu_3(PO_4)_2$  e  $Ag_3PO_4$ . Isso é um indicativo que a formação da heteroestrutura está minimizando o processo de recombinação de cargas.





**Figura 3**. Espectros de PL à temperatura ambiente das amostras de:  $Ag_3PO_4$ ,  $Cu_3(PO_4)_2$ ,  $AgP-CuP_{5\%}$  e  $AgP-CuP_{10\%}$ .

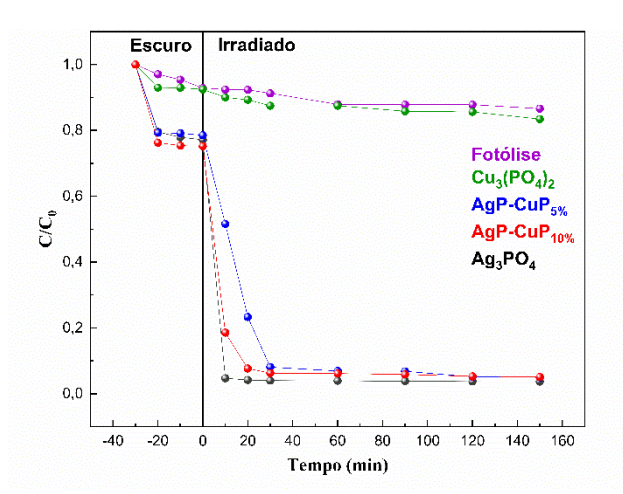
#### Atividade Fotocatalítica

As curvas cinéticas de degradação da LEV, apresentadas na Figura 4, revelaram que não houve uma diminuição significativa na fotólise do antibiótico, indicando que o material apresenta alta estabilidade frente à irradiação policromática. A taxa de redução da banda de absorção de LEV foi de apenas 6,78 %, comprovando a alta estabilidade do poluente. Para o Cu<sub>3</sub>(PO<sub>4</sub>)<sub>2</sub> observa-se que este não apresentou um desempenho fotocatalítico satisfatório para a degradação da LEV, exibindo uma porcentagem de degradação de 10,8 %. Conforme o resultado de PL (Figura 3), o material apresentou taxa de recombinação elétron/lacuna elevada, o que influencia no processo de formação de espécies oxidantes e redutoras no meio, como o radical hidroxila (17).

Os valores de taxas de degradação da LEV foram: 100 % para o  $Ag_3PO_4$ , 98 % com a amostra  $AgP-CuP_{5\%}$  e 99 % com  $AgP-CuP_{10\%}$ . Ambos os fotocatalisadores à base de  $Ag_3PO_4$  mostraram excelente atividade fotocatalítica, o que era esperado, dado que o  $Ag_3PO_4$  é amplamente reconhecido como um fotocatalisador eficiente (7).

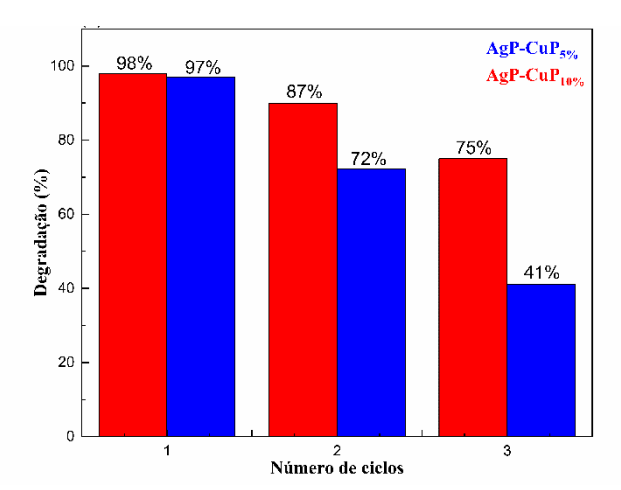
Para o Ag<sub>3</sub>PO<sub>4</sub> puro, é relevante notar que, após um período de 30 min de reação no escuro, o ensaio feito sob iluminação escureceu nos primeiros 10 min de irradiação (7). Esse fenômeno estar relacionado ao surgimento de prata metálica e à formação de Ag<sub>2</sub>O (18). A formação inicial de Ag<sup>0</sup> beneficia a atividade fotocatalítica do Ag<sub>3</sub>PO<sub>4</sub>, promovendo o efeito plasmônico, no entanto, os íons Ag<sup>+</sup> reduzidos a Ag<sup>0</sup> originam-se de aglomerados de [AgO<sub>4</sub>], causando a corrosão da estrutura do Ag<sub>3</sub>PO<sub>4</sub> e, consequentemente, a diminuição de sua atividade fotocatalítica ao longo do tempo (19).





**Figura 4**. as curvas cinéticas da fotodegradação de LEV sob a ação dos fotocatalisadores Ag<sub>3</sub>PO<sub>4</sub>, Cu<sub>3</sub>(PO<sub>4</sub>)<sub>2</sub>, AgP-CuP<sub>5%</sub> e AgP-CuP<sub>10%</sub>,.

A Figura 5 apresenta os ciclos fotocatalíticos do estudo de degradação da LEV, sendo avaliado a estabilidade fotoquímica das duas heteroestruturas. Para cada material, foram realizados três testes fotocatalíticos. Para o Cu<sub>3</sub>(PO<sub>4</sub>)<sub>2</sub>, o teste de ciclagem não foi realizado devido ao baixo desempenho, enquanto para o Ag<sub>3</sub>PO<sub>4</sub> puro, a não realização do teste deveu-se à rápida fotocorrosão sofrida (7). A heteroestrutura AgP- $CuP_{5\%}$  sofreu uma clara redução no seu desempenho fotocatalítico no terceiro reuso, sugerindo que essa diminuição esteja relacionada ao processo de fotocorrosão do Ag<sub>3</sub>PO<sub>4</sub>. No entanto, o AgP-CuP<sub>10%</sub> manteve sua eficiência fotocatalítica após os três ciclos realizados, mostrando apenas uma redução de 25 % em sua atividade em comparação ao primeiro ciclo. Portanto, a formação da heteroestrutura foi favorável para a melhora da fotoestabilidade do Ag<sub>3</sub>PO<sub>4</sub> (20).



**Figura. 5**: Ciclo catalítico realizado para o catalisador AgP-CuP<sub>10%</sub> e AgP-CuP<sub>5%</sub>.



### Conclusões

A síntese do Ag<sub>3</sub>PO<sub>4</sub>, Cu<sub>3</sub>(PO<sub>4</sub>)<sub>2</sub> e das heteroestruturas Ag<sub>3</sub>PO<sub>4</sub>/Cu<sub>3</sub>(PO<sub>4</sub>)<sub>2</sub> (5% e 10%) foram realizadas com sucesso, conforme indicado pelos resultados de DRX. A microscopia eletrônica de varredura (MEV) mostrou que o Ag<sub>3</sub>PO<sub>4</sub> não apresentou uma morfologia definida devido o processo de sinterização que o material sofre quando passa por tratamento térmico superior a 200°C. O Cu<sub>3</sub>(PO<sub>4</sub>)<sub>2</sub> apresentou morfologia na forma de folhas. A análise de fotoluminescência mostrou que heteroestruturas de recombinação possuem taxa elétron/lacuna menores que os materiais puros. Os testes fotocatalíticos demonstram que os fotocatalisadores Ag<sub>3</sub>PO<sub>4</sub>, AgP-CuP<sub>5%</sub> e AgP-CuP<sub>10%</sub> podem promover a degradação desse antibiótico em solução aquosa. No entanto, o reuso dos fotocatalisadores mostrou que o AgP-CuP5% perdeu sua eficiência fotocatalítica durante os três ciclos realizados. Em contrapartida, o AgP-CuP<sub>10%</sub> manteve sua atividade fotocatalítica após três ciclos. A estabilidade desse material pode estar associada à formação da heteroestrutura entre os dois semicondutores.

# Agradecimentos

Os autores são gratos às agências CAPES e CNPq pelo financiamento da pesquisa, e as universidades UESPI e UFPI pelo apoio e suporte técnico na realização deste trabalho.

### Referências

- (1) Zammit; M. Yoshida; P. S. Mariano. *Environ. Sci. Technol.* **2020**, *54*, 7677–7686.
- (2) Y. Zhou; et al. J. Hazard. Mater. 2021, 403, 123834.
- (3) J. Zhao; et al. Opt. Mater. 2023, 135, 113239.
- (4) V. Hasija; et al. J. Hazard. Mater. 2021, 413, 125324.
- (5) H. Wang; et al. *Chin. J. Catal.* **2022**, *43*, 178–214.
- (6) Y. Li; et al. Mater. Chem. Phys. **2021**, 271, 124871
- (7) Z. Yi; et al. *Nat. Mater.* **2010**, *9*, 559–564.
- (8) Y. Wang; et al. *Mater. Lett.* **2022**, *309*, 131451.
- (9) W. Liu; W. Hu. Colloids Surf., A 2022, 655, 130298.
- (10) S. Promnopas; et al. *Chem. Phys. Lett.* **2021**, 779, 138883
- (11) Q. Ma; et al. J. Colloid Interface Sci. **2020**, 569, 101–113.
- (12) Z. Feng; et al. Ceram. Int. **2022**, 48, 26904–26910.
- (13) X. Zhu; et al. *Environ. Res.* **2022**, 203, 111843.
- (14) S. Zhang; et al. *Mater. Sci. Eng., B* **2015**, 201, 57–65
- (15) L. Pan; et al. ChemistrySelect 2022, 7, 45.



- (16) G. Botelho; et al. J. Phys. Chem. C 2015, 119, 6293–6306.
- (17) A. E. B. Lima; et al. *J. Solid State Electrochem.* **2022**, *26*, 997–1011.
- (18) T. M. S. Costa; et al. *J. Photochem. Photobiol., A* **2018**, *364*, 461–471.
- (19) L. P. Oliveira; et al. *Ceram. Int.* **2021**, *47*, 22604–22614.
- (20) Y. Wang; et al. Surf. Interfaces **2024**, 48, 104319.